

# **Динамическая компенсация дополнительной погрешности прецизионного АЦП**

**В.К. Игнатьев, А.В. Никитин, С.В. Перченко, Д.А. Станкевич**

**ФГБОУ ВПО Волгоградский государственный университет, физико-технический институт, кафедра радиофизики**

Современная электронная промышленность предлагает ряд аналого-цифровых преобразователей с высокой разрядностью (АЦП) [1]. Например, АЦП AD7190 имеет среднеквадратичный уровень шума 8 нВ в динамическом диапазоне 40 мВ и частоте выборки 4,7 Гц [2], а температурный дрейф смещения составляет 5 нВ/°C в режиме работы с прерыванием [2]. Для уменьшения порога чувствительности и устранения дополнительной погрешности АЦП необходимо дополнить внешним усилителем и модулятором входного сигнала. Такая структура эквивалентна схеме усилителя с модуляцией-демодуляцией (МДМ) сигнала [3].

Одной из составляющих дополнительной погрешности МДМ усилителя является термоЭДС входных цепей модулятора [3], которая возникает как в точках соединения кристалла микросхемы с внешними выводами, так и в паяных внешних контактах. При исполнении усилителя на дискретных элементах необходимо применять элементы с возможно меньшими габаритами, ограничить поток тепла извне и установить тепловой шунт на входные выводы. При модульном исполнении модулятор следует помещать в теплоизоляционный кожух [3]. Второй, и, зачастую доминирующей, составляющей является погрешность аналоговой демодуляции, которая возникает из-за наличия импульсов модуляции и переходных процессов в усилителе и быстро растет с увеличением частоты модуляции [3]. Погрешности, обусловленные входными токами узлов МДМ усилителя, малы при применении элементов на МОП транзисторах.

Порог чувствительности МДМ-усилителя ограничен собственными шумами предусилителя [3]. Наиболее приемлемыми характеристиками обладают современные прецизионные операционные усилители, построенные на биполярных транзисторах. Например, микросхема OPA211 [4] имеет уровень шумового напряжения 1.1 нВ/√Гц на частоте 1 кГц. Существенный вклад в шумовую характеристику операционного усилителя вносит тепловой шум с постоянной спектральной плотностью [5], но медленное изменение напряжения смещения усилителя в зависимости от температуры приводит к появлению избыточного шума в области низких частот.

Проведенные исследования показали, что этот избыточный шум может рассматриваться как дрейф, хорошо коррелированный с производной по времени температуры модулятора и усилителя при условии, что распределение температуры внутри теплоизоляционного кожуха равномерное. Через 10 минут после включения, когда заканчивается выравнивание температуры, коэффициент корреляции между напряжением смещения усилителя и производной температуры составляет 90%, при этом температура за время 280 мин меняется в пределах 8 °C. При температурном коэффициенте напряжения смещения усилителя 0,35 мкВ/°C [4] измерение температуры цифровым термометром с погрешностью 1 мК с последующим численным дифференцированием позволит скомпенсировать дополнительную погрешность, вносимую избыточным шумом усилителя и модулятора до уровня 0,1 нВ.

Принципиальная электрическая схема АЦП, реализующего метод динамической термокомпенсации, приведена на рис. 1. Модуляцию производит мультиплексор DA1 ADG884 [5], а демодуляция осуществляется цифровым образом. Для уменьшения уровня шума усилитель собран на пяти прецизионных малошумящих операционных усилителях. Микросхемы DA2-DA5 OPA211 [3] включены по схеме неинвертирующих усилителей, а микросхема DA6 OP1177 [6] суммирует их выходные сигналы. Прецизионные резисторы R2 -

*R*14 задают коэффициент усиления, равный 800. Сигнал с выхода ОУ *DA*6 подается на высокопроизводительный 24-разрядный дельта-сигма аналого-цифровой преобразователь *DA*8 AD7190 [2], опорное напряжение 2,5 В для которого задает специализированная микросхема *DA*7 ISL21007BFB825Z [8].

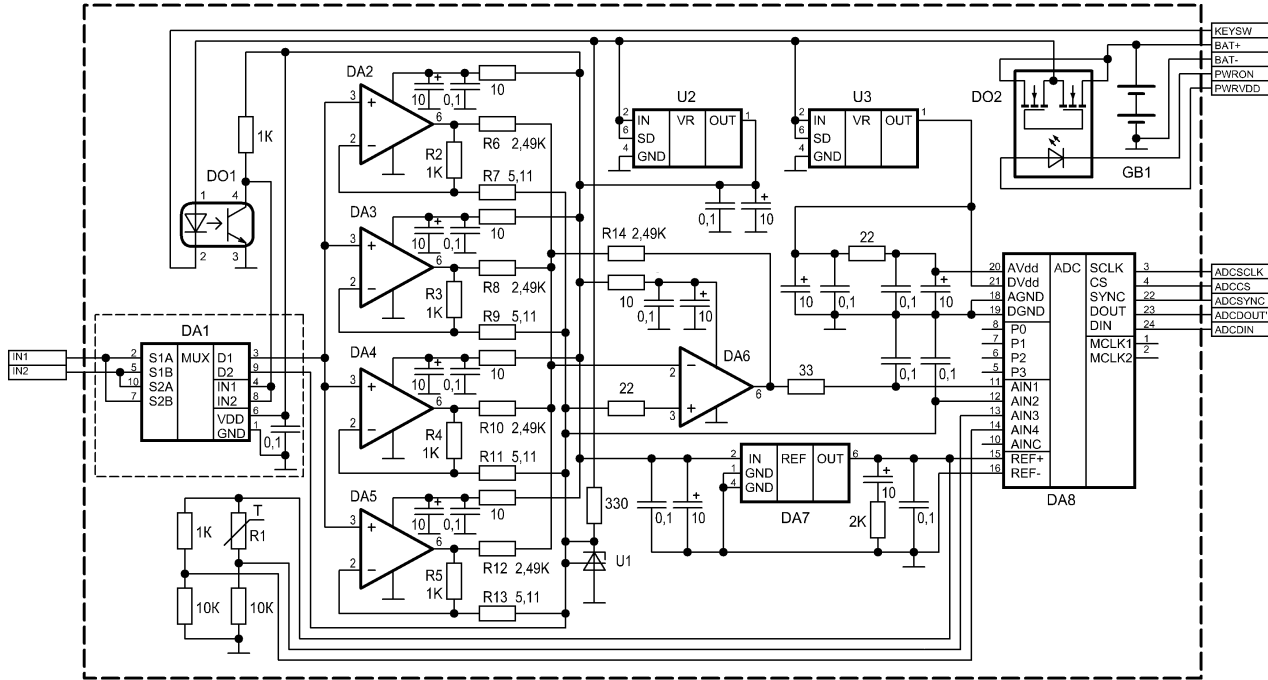


Рис. 1. Принципиальная электрическая схема МДМ-усилителя (*DA*1 – ADG884, *DA*2–*DA*5 – OPA211, *DA*6 – OP1177, *DA*7 – ISL21007, *DA*8 – AD7190; *U*1 – TL431, *U*2, *U*3 – ADP3330; *DO*1 – PC817, *DO*2 – LCA710C; *R*1 – 700-102AAB-B00)

Усилитель питается от аккумуляторной батареи *GB*1, составленной из двух литий-ионных аккумуляторов 3,7 В емкостью 2200 мА/ч. Питающее напряжение 5 В для микросхем *DA*1 – *DA*7 задает интегральный стабилизатор с малым падением напряжения *U*2 ADP3330 [9], а средняя точка создается параллельным стабилизатором, реализованным на микросхеме *U*1 TL431 [10]. Для снижения воздействия на аналоговые цепи микросхема *DA*8 питается от отдельной микросхемы *U*3 ADP3330. Для снижения воздействия цифрового блока на измерительный управление мультиплексором производится через оптоэлектронную развязку *DO*1.

Для испытания АЦП изготовлен цифровой блок, принципиальная электрическая схема которого приведена на рис. 2. В качестве управляющего микроконтроллера *DD*1 используется сравнительно дешевый микроконвертер ADuC847BS62-5, имеющий необходимое количество линий ввода-вывода и встроенный интерфейс UART [11]. Для связи с компьютером по интерфейсу USB используется микросхема *DD*2 FT232RL [12]. Оптоэлектронные развязки *DO*3, *DO*4 снижают воздействие сетевой помехи компьютера на прибор. Питается цифровой блок от аккумуляторной батареи измерительного блока, напряжение которой стабилизирует микросхема *U*4 ADP3330.

АЦП выполнен на двух печатных платах, изготовленных из фольгированного текстолита толщиной 1,5 мм. На первой плате размещена микросхема *DA*1, на второй – остальные детали. ТермоЭДС контакта меди-олово примерно равна 3,7 мкВ/°C [13], поэтому со всех выводов микросхемы *DA*1 и выводов 2, 3 микросхем *DA*2–*DA*5 удалено лужение, а их пайка осуществлена индием, имеющим существенно меньшую термоЭДС с медью [13].

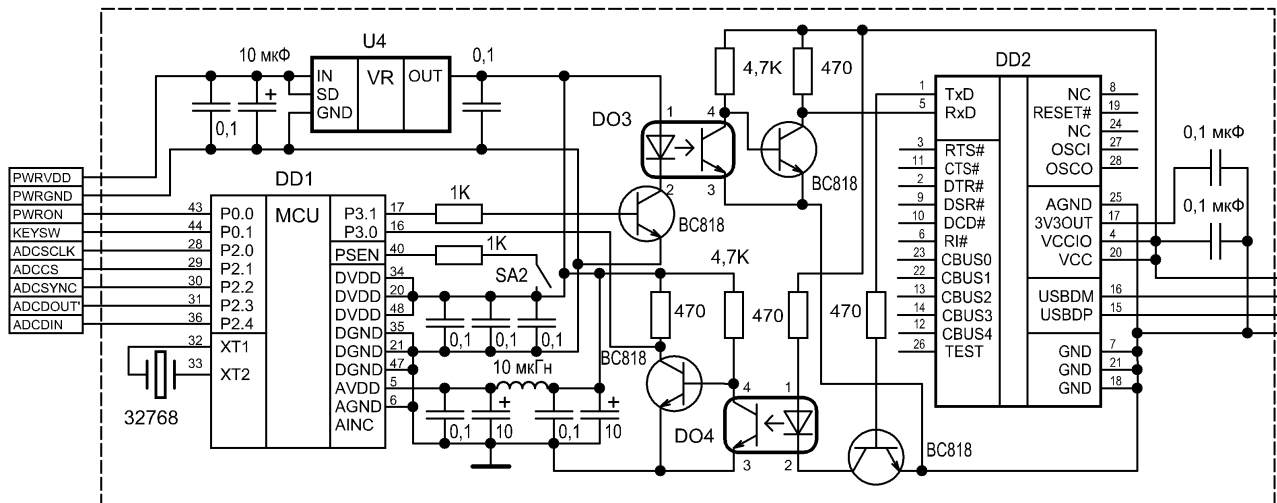


Рис. 2. Принципиальная электрическая схема цифрового блока (*DD1* – ADuC847, *DD2* – FT232RL; *U4* – ADP3330; *DO3*, *DO4* – PC817)

Плата с мультиплексором *DA1* помещена в алюминиевый пассивный термостат с габаритами  $24 \times 18 \times 10$  мм и толщиной стенок 3 мм, который располагается в поролоновом кожухе с толщиной стенок 10 мм. Кожух необходим для ограничения тепловых потоков. Соединение с остальными элементами аналоговой части выполнено медными нелужеными проводами в тефлоновой изоляции. На микросхемы *DA2-DA5* kleem БФ-2 приклеен медный тепловой шунт габаритами  $40 \times 5 \times 0,5$  мм.

На шунте размещен мост измерения температуры [2] с платиновым резистором  $R1$  700-102AAB-B00 [14], для электрической изоляции используется слюдяная прокладка. Напряжение с диагонали моста, пропорциональное температуре, измеряется микросхемой *DA8*, производная вычисляется по четырем отсчетам. АЦП и батарея питания помещены в дюралюминиевый литой экран G0124F [15], по этой причине управление питанием усилителя осуществляется при помощи твердотельного реле *DO2*. Экран защищает предусилитель от внешних помех и помех, создаваемых блоком управления, а также является пассивным термостатом. Экран помещен в поролоновый кожух с толщиной стенок 20 мм.

Оценка спектральной плотности мощности шумового напряжения, приведенного к входу АЦП, была получена с применением метода периодограмм Уэлча [16] по 20 реализациям выборок из 1024 отсчетов. На плате с мультиплексором при этом была установлена медная перемычка, припаянная индием к входам *IN1* и *IN2*. На частотах выше 25 Гц без коммутации мультиплексора *DA1* при частоте дискретизации микросхемы *DA8* 600 Гц шум практически белый со спектральной плотностью  $0,6 \text{ нВ}/\sqrt{\text{Гц}}$ , что соответствует шумовым характеристикам четырех включенных параллельно микросхем OPA211 [3] с учетом теплового шума модулятора *DA1*. На более низких частотах проявляется существенный фликер-шум, доходящий до  $7 \text{ нВ}/\sqrt{\text{Гц}}$  на частоте 1 Гц. В режиме МДМ при коммутации мультиплексора с частотой 75 Гц шум практически белый в диапазоне частот от 0 до 37,5 Гц со спектральной плотностью  $0,8 \text{ нВ}/\sqrt{\text{Гц}}$ . Подавление фликер-шума свидетельствует о правильной работе модулятора, увеличение шума за счет коммутационных помех составляет примерно  $0,2 \text{ нВ}/\sqrt{\text{Гц}}$ .

Для корректировки напряжения смещения в течение 5 часов после 20 минутного прогрева измерялась его зависимость от производной температуры терморезистора *R1*. Полученная зависимость была аппроксимирована линейным уравнением методом наименьших квадратов, которое в дальнейшем используется для корректировки напряжения смещения. Зависимость напряжения от времени с введением алгоритма динамической термокомпенсации, сглаженная окном шириной в 100 отсчетов, приведена на рис. 3. Оценка

среднеквадратичного отклонения отсчетов при времени усреднения 0,85 с составляет 1 нВ; 8,5 с – 0,31 нВ; 85 с – 0,13 нВ; 850 с – 0,1 нВ, соответственно.

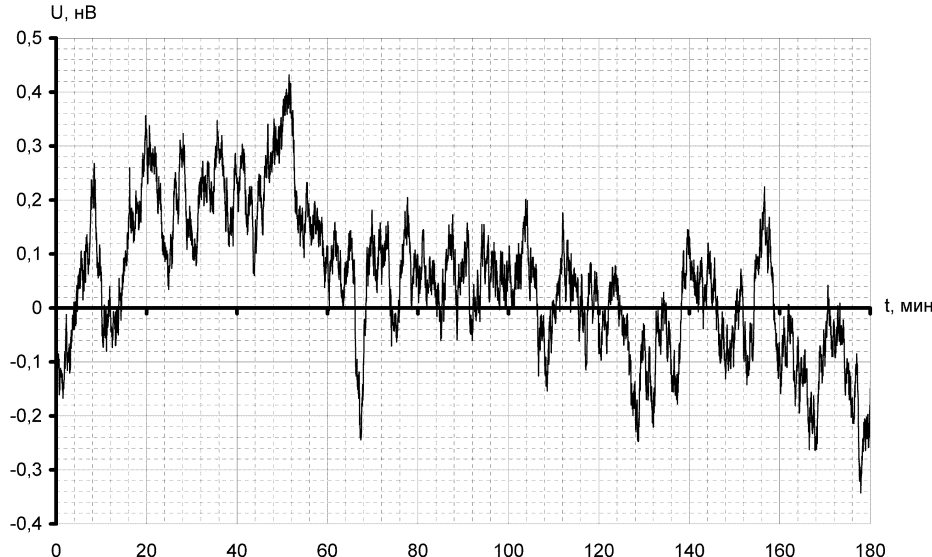


Рис. 3. Зависимость напряжения смещения от времени с введением алгоритма динамической термокомпенсации, сглаженная окном шириной в 100 отсчетов

Если принять, что напряжение смещения является суммой белого шума со спектральной плотностью мощности  $G$  и линейного тренда вида  $\alpha t$ , то его дисперсию можно представить в виде  $\sigma^2 = G/(2T) + (\alpha T)^2/12$ , где  $T$  – время усреднения. При приведенной к входу спектральной плотности шумового напряжения 0,8 нВ/Гц<sup>1/2</sup> и коэффициенте тренда  $\alpha = 0,3$  пВ/с вклад избыточного шума сравнивается с вкладом теплового при времени усреднения 300 с.

На рис. 4 приведена зависимость напряжения смещения от времени с введением алгоритма динамической термокомпенсации, сглаженная окном шириной в 1000 отсчетов, из которой видно, что средний тренд напряжения составляет около 100 пВ/ч. Поскольку за время измерения 180 мин температура мультиплексора изменилась на 8 °С, температурный дрейф напряжения смещения можно оценить как 40 пВ/°С. Если входной усилитель построить на 16 микросхемах OPA211 и 4 мультиплексорах ADG884, включенных параллельно, можно ожидать, что приведенная к входу спектральная плотность шумового напряжения составит 0,4 нВ/Гц, и порог чувствительности 0,1 нВ будет достигнут при времени усреднения 60 – 100 с.

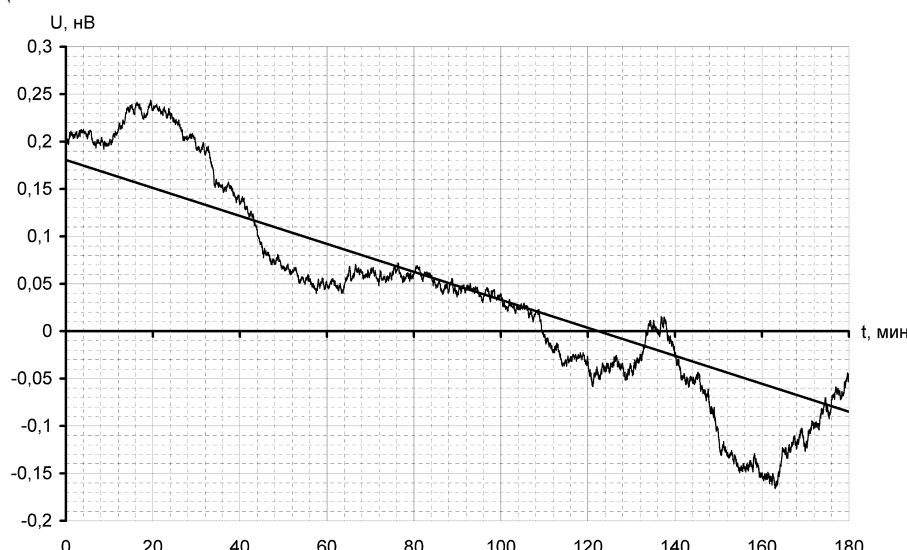


Рис. 4. Зависимость напряжения смещения от времени с введением алгоритма динамической термокомпенсации, сглаженная окном шириной в 1000 отсчетов

Работа поддержана грантами ФЦП «Научные и научно-педагогические кадры инновационной России» на 2009 – 2013 годы (государственный контракт №14.740.11.0830) и программы "У.М.Н.И.К.-2011" (проект № 14124) Фонда Содействия Развитию МП НТС.

### **Литература:**

1. ИМС преобразователей данных. – Режим доступа:  
[http://www.ekis.kiev.ua/UserFiles/Image/pdfArticles/ADI\\_bul\\_%20EKIS\\_10\\_2010.pdf](http://www.ekis.kiev.ua/UserFiles/Image/pdfArticles/ADI_bul_%20EKIS_10_2010.pdf)
2. Техническое описание микросхемы AD7190 – Режим доступа:  
[http://www.analog.com/static/imported-files/data\\_sheets/AD7190.pdf](http://www.analog.com/static/imported-files/data_sheets/AD7190.pdf);
3. Полонников Д. Е. Операционные усилители: Принципы построения, теория, схемотехника. – М.: Энергоатомиздат, 1983. - 216 с.;
4. Техническое описание микросхемы OPA211 – Режим доступа:  
<http://focus.ti.com/lit/ds/symlink/opa211.pdf>;
5. Букингем М. Шумы в электронных приборах и системах: Пер. с англ. – М.: Мир, 1986. 398 с.;
6. Техническое описание микросхемы ADG884 – Режим доступа:  
[http://www.analog.com/static/imported-files/data\\_sheets/ADG884.pdf](http://www.analog.com/static/imported-files/data_sheets/ADG884.pdf);
7. Техническое описание микросхемы OP1177 – Режим доступа:  
[http://www.analog.com/static/imported-files/data\\_sheets/OP1177\\_2177\\_4177.pdf](http://www.analog.com/static/imported-files/data_sheets/OP1177_2177_4177.pdf);
8. Техническое описание микросхемы ISL21007 – Режим доступа:  
[www.intersil.com/data/fn/FN6326.pdf](http://www.intersil.com/data/fn/FN6326.pdf);
9. Техническое описание микросхемы ADP3330 – Режим доступа:  
[http://www.analog.com/static/imported-files/data\\_sheets/ADP3330.pdf](http://www.analog.com/static/imported-files/data_sheets/ADP3330.pdf);
10. Техническое описание микросхемы TL431 – Режим доступа:  
<http://focus.ti.com/lit/ds/symlink/tl431.pdf>;
11. Техническое описание микроконвертера ADuC847. – Режим доступа:  
[http://www.analog.com/UploadedFiles/Data\\_Sheets/ADUC845\\_847\\_848.pdf](http://www.analog.com/UploadedFiles/Data_Sheets/ADUC845_847_848.pdf);
12. Техническое описание микросхемы FT232R – Режим доступа:  
[www.ftdichip.com/Documents/DataSheets/DS\\_FT232R.pdf](http://www.ftdichip.com/Documents/DataSheets/DS_FT232R.pdf);
13. Физические величины: Справочник. Под ред. И.С. Григорьева, Е. З. Мелихова. – М.: Энергоатомиздат, 1991. - 1232 с.;
14. Техническое описание терморезистора 700-102AAB-B00 – Режим доступа:  
[http://content.honeywell.com/sensing/prodinfo/temperature/datasheets/009018\\_1\\_EN\\_w.pdf](http://content.honeywell.com/sensing/prodinfo/temperature/datasheets/009018_1_EN_w.pdf);
15. Электронный каталог корпусов для РЭА Gainta.- Режим доступа:  
[http://www.gainta.ru/products/bodies/files/Gainta\\_Catalogue.pdf](http://www.gainta.ru/products/bodies/files/Gainta_Catalogue.pdf);
16. Марпл-мл. С.Л. Цифровой спектральный анализ и его приложения. Пер. с англ. – М.: Мир, 1990. - 584 с.